

EXTENDED ABSTRACT

Investigating the Impressibility of Groundwater Level from Infiltration and Seepage in Water Conveyance Channels (Case Study: Boldaji)

E. Tavakoli^{1*}, B. Ghorbani², M. Radfar³, H. Samadi Borujeni⁴ and B. Ghahraman⁵

- 1*- Corresponding Author, Ph.D. Graduate, Irrigation and Drainage Engineering, Faculty of Agriculture, Shahrekord University, Shahrekord, Iran, and P.G. Researcher, Young Researchers and Elite Club, Mashhad Branch, Islamic Azad University, Mashhad. (*eh_ta84@yahoo.com*)
2- Associate Professor, Faculty of Agriculture, Shahrekord University, Shahrekord, Iran.
3- Assistant Professor, Faculty of Agriculture, Shahrekord University, Shahrekord, Iran.
4- Assistant Professor, Faculty of Agriculture, Shahrekord University, Shahrekord, Iran.
5- Professor, Faculty of Agriculture, Ferdowsi University of Mashhad, Mashhad, Iran.

Received: 6 February 2017

Revised: 11 December 2017

Accepted: 18 December 2017

Keywords: Earth channel, Physical modelling, Dimensional similitude, Water Balance Method.

DOI: 10.22055/jise.2017.21103.1519.

Introduction

Groundwater is the main source of potable water for more than 1.5 billion people throughout the world, including arid and semi-arid regions like Iran. Literature review showed that there is no use of the dimensional similitude and physical modelling for estimating seepage from channels and its effect on the groundwater, yet. Thus, in order to better understand this phenomenon, the current study aimed at investigating the effects of infiltration and seepage on the groundwater recharge at different water level depths. Numerous studies have been conducted to assess the groundwater recharge, such as Yin et al. (2011) that utilized some methods such as the water table fluctuation method and the Darcian flux and water balance method in China. Similarly, using data from some irrigation projects and piezometric level data, Ochoa et al. (2013) evaluated the effects of seepage on the groundwater recharge in New Mexico. Moreover, Demlie (2015) compared the water balance method and the chloride mass balance method to quantify and investigate the groundwater recharge in Ethiopia. In the current research, the earth channel of Boldaji with loamy soil, located in Borujen city, Chaharmahal and Bakhtiari province, was chosen as the prototype. The dimensions of such a channel were transmitted to laboratory models at soil mechanics lab at Shahrekord University. Using dimensional similitude equations, 9 discharges (40-161 l/s) and 4 water-table depths (0.75, 0.8, 0.85 and 0.9 m from soil surface) were converted to the applicable discharges of the model. The results of the laboratory physical model showed that the infiltrated water raised the groundwater 3.5-11 cm. The values of recharged groundwater were, in turn, calculated by means of water balance method and the results showed no suitable estimates of such a method for the trapezoid and triangle cross-sections.

Methodology

Study Area

The earth channel of Boldaji with loamy soil, located in Borujen city, Chaharmahal and Bakhtiari province, was chosen as the prototype in this research. The soil texture was determined using hydrometer method (Gee and Bauder, 1979). The findings showed 44.5 % sand, 29.5 % silt, and 26

% clay. According to the USDA soil classification method, the texture was obtained as loam, which was constant to the depth of water table (6.79 m from the soil surface). Considering 0.13 as the scale ratio, the dimensions of this channel were transmitted to the laboratory model. Using dimensional similitude equations, 9 discharges (40-161 L/s) and 4 water-table depths (0.75, 0.8, 0.85 and 0.9 m from the soil surface) were converted to the applicable discharges of the model. All experiments were carried out for the trapezoid and triangle cross-sections with 3 replications.

Seepage determination

Canal dimensions were converted to the model based on the dimensional similitude relations using the appropriate scales. In turn, a range of discharges was used to determine the seepage losses. They were 0.25, 0.3, 0.36, 0.43, 0.49, 0.55, 0.61, 0.8 and 1.0 L s^{-1} in the model, which were chosen with respect to the limitations of the laboratory model. In order to minimize the scale effects on the results of the physical modelling, the Reynolds number and Weber number were controlled so that they were in the acceptable range (Reynolds number >105 and Weber number >100) (Chanson, 2004).

Results and Discussion

All the experiments lasted 4 hours, and the inflow was stopped in the 3rd hour. After this time, the gradient of raising groundwater level was lower than that of before. The results of the laboratory physical model showed that the seepage raised the groundwater level. In the studied models, the infiltrated water raised the groundwater 3.5 ($Q=0.25 \text{ l/s}$) to 11 ($Q=1 \text{ l/s}$) cm.

The R^2 values for the triangle section (except for the water level of 0.9) were always higher than 0.8, which was more than the trapezoid section. Besides, this findings showed a better correlation between the calculated recharge by water balance method and the measured values.

The values of the recharged groundwater were calculated by means of the water balance method. The results showed no suitable estimates of such a method for the trapezoid and triangle cross-sections (R^2 was more than 0.72 and 0.62; RMSE was more than 166 and 157; and MAE was higher than 154 and 142, for the trapezoid and triangle sections, respectively). Thus, this method is not recommended for Borujen region. This conclusion is not in line with that of Demlie (2015), and Willis et al. (1997) reporting that the water balance method showed appropriate results for the single-event irrigation. Raising the groundwater between 3.5 and 11 cm in the current study represented a significant effect of seepage on the groundwater recharge, which is in accordance with the results of Meijer et al. (2006) and Fernald and Guldan (2006).

Conclusions

The results of the laboratory physical model showed that the infiltrated water raised the groundwater 3.5-11 cm. The values of recharged groundwater were calculated by means of the water balance method. The findings showed no suitable estimates of such a method (R^2 was more than 0.72 and 0.62; RMSE was more than 166 and 157; and MAE was higher than 154 and 142, for the trapezoid and triangle sections, respectively) for Borujen region. Due to the time and cost limitations, we just used two cross-sections. It is, thus, recommended that other researchers apply other shapes of the sections for further research. Tracers are, indeed, the options to suggest for estimating recharge in future studies.

Acknowledgment

The authors would like to thank the reviewers for their constructive comments improving the quality of this paper.

References

- 1- Chanson, H., 2004. *The hydraulics of open channel flow*. Arnold, London.

- 2- Demlie, M., 2015. Assessment and estimation of groundwater recharge for a catchment located in highland tropical climate in central Ethiopia using catchment soil-water balance (SWB) and chloride mass balance (CMB) techniques. *Environmental Earth Sciences*, 74(2), pp.1137-1150.
- 3- Fernald, A.G. and Guldan. S.J., 2006. Surface water-groundwater interactions between irrigation ditches, alluvial aquifers, and streams. *Reviews in Fisheries Science*, 14(1-2), pp.79-89.
- 4- Gee, G.W. and Bauder, J.W., 1979. Particle size analysis by hydrometer: a simplified method for routine textural analysis and a sensitivity test of measurement parameters. *Soil Science Society of America Journal*, 43(5), pp.1004-1007.
- 5- Meijer, K., Boele, E., Augustijn, D. and van der Molen, I., 2006. Impacts of concrete lining of irrigation canals on availability of water for domestic use in southern Sri Lanka. *Agricultural Water Management*, 83(3), pp.243-251.
- 6- Ochoa, C.G., Fernald, A.G., Guldan, S.J., Tidwell, V.C. and Shukla, M.K., 2013. Shallow aquifer recharge from irrigation in a semiarid agricultural valley in New Mexico. *Journal of Hydrologic Engineering*, 18(10), pp.1219-1230.
- 7- Willis, T.M., Black, A.S. and Meyer, W.S., 1997. Estimates of deep percolation beneath cotton in the Macquarie Valley. *Irrigation Science*, 17(4), pp.141-150.
- 8- Yin, L., Hu, G., Huang, J., Wen, D., Dong, J., Wang, X. and Li, H., 2011. Groundwater-recharge estimation in the Ordos Plateau, China: comparison of methods. *Hydrogeology Journal*, 19(8), pp.1563-1575.



© 2019 by the authors. Licensee SCU, Ahvaz, Iran. This article is an open access article distributed under the terms and conditions of the Creative Commons Attribution 4.0 International (CC BY 4.0 license) (<http://creativecommons.org/licenses/by/4.0/>).

بررسی تأثیرپذیری سطح آب زیرزمینی از نشت و نفوذ در کanal های انتقال آب (مطالعه موردی: بلداجی)

احسان توکلی^{۱*}، بهزاد قربانی^۲، مهدی رادفر^۳، حسین صمدی بروجنی^۴ و بیژن قهرمان^۵

- ۱- نویسنده مسئول، فارغ‌التحصیل دکتری آبیاری و زهکشی دانشکده کشاورزی دانشگاه شهر کرد و عضو باشگاه پژوهشگران جوان و نخبگان، واحد مشهد، دانشگاه آزاد اسلامی، مشهد، ایران. eh_ta84@yahoo.com
- ۲- دانشیار دانشکده کشاورزی دانشگاه شهر کرد.
- ۳- استادیار دانشکده کشاورزی دانشگاه شهر کرد.
- ۴- استادیار دانشکده کشاورزی دانشگاه شهر کرد.
- ۵- استاد دانشکده کشاورزی دانشگاه فردوسی مشهد.

پژوهش: ۱۳۹۶/۹/۲۷

بازنگری: ۱۳۹۶/۹/۲۰

دریافت: ۱۳۹۵/۱۱/۱۸

چکیده

آب زیرزمینی منبع اصلی تأمین آب آشامیدنی بیش از ۱/۵ میلیارد نفر در سراسر جهان، از جمله مناطق خشک و نیمه‌خشکی چون ایران است. پژوهش حاضر با هدف بررسی تأثیر نشت و نفوذ بر تغذیه آب زیرزمینی، در شرایط قرارگیری تراز سطح ایستابی در اعماق مقاومت انجام شده است. برای انجام این پژوهش، کanal خاکی بلداجی با خاک لومی، در شهرستان بروجن استان چهارمحال و بختیاری، به عنوان نمونه اصلی انتخاب شد. ابعاد این کanal براساس روابط تشابه ابعادی و با در نظر گرفتن مقیاس $0/0/13$ به مدل آزمایشگاهی واقع در آزمایشگاه مکانیک خاک دانشگاه شهرکرد و در کanalی با شبیه ثابت، طول یک متر و عرض $0/59$ متر انتقال یافت. در این پژوهش، ۹ دبی (بین $0/0/4$ تا 161 لیتر در ثانیه) و چهار سطح ایستابی ($0/0/85$ ، $0/0/80$ ، $0/0/90$ و $0/0/100$ متر از سطح خاک) به دنبی قابل کاربرد در مدل تبدیل شد. کلیه آزمایش‌ها برای دو مقطع مثلثی و ذوزنقه و در سه تکرار انجام گردید. نتایج مدل فیزیکی آزمایشگاه نشان داد نفوذ آب از کanal باعث بالا آمدن سطح آب زیرزمینی بین $3/5$ تا 11 سانتی‌متر می‌گردد. مقادیر تغذیه آب زیرزمینی با استفاده از روش بیلان آب محاسبه شد و نتایج نشانگر تخمین‌های نامطلوب این روش برای هر دو مقطع مثلث و ذوزنقه و مثلاً R^2 بزرگتر از $0/72$ و $0/62$ به ترتیب برای مقطع ذوزنقه و مثلاً RMSE بزرگتر از 166 و 157 به ترتیب برای مقطع ذوزنقه و مثلاً؛ و MAE بزرگتر از 154 و 142 به ترتیب برای مقطع ذوزنقه و مثلاً. بنابراین، این روش برای تخمین تغذیه در منطقه بروجن پیشنهاد نمی‌شود.

کلیدواژه‌ها: کanal خاکی، مدل‌سازی فیزیکی، تشابه ابعادی، روش بیلان آب.

تعیین سرنوشت آب نفوذکرده از کanal از مسائل مهم در مدیریت آب‌های سطحی و زیرزمینی است. معمولاً سیستم‌های آبیاری و کanal‌های انتقال آب در مناطقی که بارش و تغذیه طبیعی کم است، احداث و استفاده می‌شوند. بنابراین، تغذیه آب زیرزمینی از کanal و Winter et al. 1998 مزرعه در مقایسه با تغذیه از بارش، نسبتاً بیشتر است (). مطالعه‌های مختلف نشان داده که منشأ تغذیه آب زیرزمینی که سبب بالا آمدن سطح آب می‌شود، نشت از کanal‌های آبیاری (Helmus et al., 2009; Xu et al., 2011) یا نفوذ از Fernald et al., 2007; Ochoa et al. 2007; Xu et al. 2011 اراضی فاریاب () بهویژه در مناطق خشک و نیمه‌خشک است (Ochoa et al. 2013).

در بسیاری موارد، مسیر نفوذ آب از کف کanal تا سطح ایستابی به‌وسیله محیط متخلخل غیراشباع با نفوذپذیری کم محدود می‌شود. بنابراین تغذیه واقعی به سیستم آبخوان، ممکن است کمتر از تغذیه

مقدمه

آب زیرزمینی منبع اصلی تأمین آب آشامیدنی بیش از ۱/۵ میلیارد نفر در سراسر جهان و تقریباً تنها منبع آب برای چندین شهر دنیا از جمله جاکارتا، لیما و مکریکوستی است (Sampat, 2000). نتایج تحقیقات در جیرفت کرمان نشان داد که اگر روند کنونی بهره‌برداری از آب‌های زیرزمینی ادامه یابد، سطح آب‌های زیرزمینی این شهرستان طی چهار سال و نیم آینده حدود $6/68$ متر کاهش می‌یابد (Amirtaimoori, 2016). قابلیت تجدید و احیای سیستم آب زیرزمینی، که پارامتری کلیدی در تعیین آبدیه پایدار این سامانه است، به شدت به کیفیت و کیفیت تغذیه آبخوان وابسته می‌باشد (Yamanaka et al. 2011). عوامل متعددی در اختلال آب سطحی و زیرزمینی مؤثر هستند. تحقیقات (Azari et al. 2015) نشان داد در بین این عوامل ضریب گزندگی بستر رودخانه، مقدار تغذیه روی دشت و هدایت هیدرولیکی آبخوان بیشترین اثر را دارند.

استفاده از داده‌های چندین آبیاری و سطح پیزومتریک به ارزیابی اثرات نشت بر تغذیه آبخوان کم‌عمق در شمال نیومکزیکو پرداختند. عمق سطح ایستابی در منطقه مورد مطالعه از $1/5$ تا 10 متر در بخش فاریاب و از 10 تا 30 متر در بخش خشک متغیر بود. روش‌های بیلان آب (Water balance method) و روش نوسان سطح ایستابی برای تخمین تغذیه آبخوان در مقیاس مزرعه (کمتر از یک هکتار) استفاده شد. نتایج نشان داد روش بیلان آب نسبت به روش نوسان سطح ایستابی تمایل به بیش برآورد تغذیه آبخوان دارد. (Sobowale et al., 2014) پتانسیل تغذیه آبخوان را در مناطق نیمه‌خشک زیرزمینی به صورت روزانه و برای مدت سه سال با استفاده از روش نوسان سطح ایستابی برآورد گردید و نتایج نشان داد که محدوده تغییرات تغذیه از 17 تا 32 میلی‌متر در روز برای مزارع کشاورزی متغیر است. این پژوهشگران گزارش کردند که به طور متوسط هشت میلی‌متر آب به صورت روزانه از طریق آبیاری و بارش به منبع آب زیرزمینی افزوده شده است. (Demlie, 2015) دو روش بیلان آب خاک و بیلان جرمی کلرايد را به منظور کمی کردن و تحلیل تغذیه آب زیرزمینی در حوضه آبریز آکاکی، در مرکز انتیوبی، با یکدیگر مقایسه نمود. مقدار تغذیه به دست آمده از روش بیلان بسیار کمتر از روش دیگر بود که بیانگر اهمیت مسیر جریان ترجیحی در مکانیسم تغذیه است که روش بیلان آن را در نظر نگرفته است. نتایج این مطالعه نشان دهنده اهمیت این واقعیت است که چندین روش تخمین تغذیه برای درک و شناخت ساختارهای احتمالی تغذیه و رسیدن به مقدار قابل قبول، نیاز است.

با توجه به پیچیدگی‌های موجود بر سر راه بررسی رفتار آب در زیرزمین و همچنین به منظور اطمینان از صحت نتایج به دست آمده، گریزی از مدل کردن برهمکنش آبخوان و کانال در مقیاس آرمایشگاه نیست. برای مدل سازی این پدیده‌ها، نخست باید اصول تشابه ابعادی را مورد مطالعه قرار داد.

از مطالعاتی که با استفاده از مدل فیزیکی برای شبیه‌سازی رفتار هیدرولوژیکی جریان استفاده شده، می‌توان به بررسی نوسانات سطح ایستابی و خصوصیات هیدرولوژیکی خاک Samani و Fathi (2005)، مدل سازی جریان نشت به چاه افقی Chen et al. (2003) و بررسی جریان در آبخوان آزاد در تزدیکی یک مرز نشت ایستابی (Simpson et al., 2003) اشاره کرد. بررسی منابع انجام‌شده حاکی از آنست که تاکنون از تشابه ابعادی و مدل سازی فیزیکی برای تخمین نشت از کانال و تاثیر بر آب زیرزمینی استفاده نشده است. بنابراین، از آنجاکه کمی کردن درست تغذیه آبخوان و درک صحیح از برهمکنش‌های بین آب سطحی و زیرزمینی در مناطق با محدودیت آب، برای درک بهتر ظرفیت آبخوان به منظور تامین نیاز آب زیرزمینی ضروری است، هدف پژوهش حاضر، بررسی

پتانسیل باشد (Rushton, 2003). روش‌های زیادی برای بررسی برهمکنش آب سطحی و زیرزمینی به وسیله پژوهشگران مختلف ارایه شده است (Scanlon et al., 2002). روش‌های کمی کردن تغذیه آب زیرزمینی به سه گروه براساس داده‌های آب سطحی، منطقه غیراشباع و منطقه اشباع تقسیم می‌شوند. در هر منطقه، این روش‌ها به نگرش‌های فیزیکی، ردبایهای تاریخی (دبایهای شیمیایی یا ایزوتوب‌ها (مثل برمايد)، ردبایهای تاریخی (مانند آلائیدها یا آرمایش‌های هسته‌ای) و ردبایهای زیستی و مدل‌سازی عددی تقسیم‌بندی می‌گردد (Scanlon et al., 2002).

تخمین تغذیه آب زیرزمینی در مناطق خشک و نیمه‌خشک می‌تواند دشوار باشد، زیرا در این مناطق مقدار تغذیه معمولاً در مقایسه با بارش یا تبخر تعرق سالانه کم است (Scanlon et al., 2002). فرایندهای تغذیه از محلی به محل دیگر تغییر می‌کنند؛ بنابراین، شناسایی مکانیسم‌های احتمالی جریان و عوامل مهم موثر بر تغذیه در محل پیش از تصمیم‌گیری درباره روش تخمین، ضروری است (Lerner et al., 1990).

عدم قطعیت‌های موجود در محاسبه تغذیه آبخوان با روش‌های مختلف، اهمیت استفاده از چندین روش را برای افزایش اعتبار تخمین‌های تغذیه، بر جسته می‌کند (Healy and Cook, 2002; Nimmo et al. 2003). با این وجود، در بیشتر کشورهای توسعه‌نیافرین، داده‌های قابل اطمینان اندک هستند (Swenson and Wahr, 2009) و به ندرت پیش از یک روش مورد استفاده قرار می‌گیرد. (Willis et al. 1997) مطالعه‌ای در مزارع تحت آبیاری استرالیا در دو خاک مختلف به منظور پی بردن به میزان تغذیه آب زیرزمینی انجام شده و محققان از سه روش بیلان آب، محاسبات فلاکس دارسی و مدل‌سازی بیلان جرمی کلرايد استفاده کردند. در مطالعه‌ای Meijer et al. (2006) که در یک طرح آبیاری در جنوب سریلانکا انجام شد، نشان داده شد که نشت از کانال در فصول خشک مشارکتی حدود 55 تا 75 درصدی در تغذیه آب زیرزمینی دارد. (Guldal and Fernald, 2006) در پروژه‌ای مطالعاتی به تعیین اثرات برهمکنش آب سطحی-زیرزمینی بر بیلان هیدرولوژیکی و کیفیت آب در نیومکزیکو پرداختند. در مطالعه Yin et al. (2011)، چندین روش از جمله روش نوسان سطح ایستابی (Water table fluctuation method)، قانون دارسی در منطقه اشباع و بیلان آب برای تخمین تغذیه در فلات اردوس چین، مورد استفاده قرار گرفت. (Obuobie et al., 2012) روش نوسان سطح ایستابی را در حوضه رودخانه وايت ولتا در کشور غنا (به وسعت تقریبی 46000 کیلومتر مربع) به منظور تخمین فصلی آب زیرزمینی و به دنبال آن برآورد تغذیه آب زیرزمینی برای سال‌های آبی 2006 و 2007 ، به کار گرفتند. نتایج نشان داد که باران فصلی منبع اصلی تغذیه آبخوان بوده است. (Ochoa et al., 2013)

در این روابط Q_r و V_r به ترتیب نسبت دبی و سرعت مدل به نمونه اصلی می‌باشند.

مطالعه‌های آزمایشگاهی

در این مطالعه، کanal درجه دو خاکی بلداجی در شهرستان بروجن استان چهارمحال و بختیاری واقع در طول جغرافیایی ۵۷ درجه و ۱۵ دقیقه شرقی و عرض جغرافیایی ۳۱ درجه و ۵۶ دقیقه شمالی و ارتفاع ۲۲۴۹ متر از سطح دریا (شکل ۱) به عنوان نمونه اصلی انتخاب شد. این کanal به شکل ذوزنقه با ابعاد عرض کف، عرض بالا و عمق به ترتیب $1/3$ ، $4/42$ و $0/40$ متر است. بافت خاک به روش هیدرومتری Gee و Bauder (1979) تعیین شد (جدول ۱). بافت خاک تا عمق سطح ایستابی که در $6/79$ متری از سطح زمین قرار داشت، ثابت بود. برای تخمین هدایت هیدرولیکی اشباع عمودی در خاک در محل نمونه اصلی از روش حلقه‌های نفوذ مضاعف استفاده شد (MPOIRI, 2001). مدت زمان آزمایش حلقه‌های نفوذ مضاعف در کanal خاکی بلداجی حدود 240 دقیقه بود که پس از گذشت 125 دقیقه نفوذ نهایی خاک حاصل شد. این آزمایش‌ها در سه تکرار انجام شد و مقدار هدایت هیدرولیکی تعیین گردید.

به منظور ساخت مدل آزمایشگاهی، حدود 2000 کیلوگرم خاک از کanal به آزمایشگاه مکانیک خاک دانشگاه شهرکرد منتقل شده و آزمایش‌های بررسی نشت و تأثیر بر سطح ایستابی در فلوم این آزمایشگاه (مدل) انجام شد. این فلوم، کاتالی افتی با شیب ثابت و طول یک متر و عرض $0/59$ متر بوده که دیواره سمت راست آن (در 50 میلی‌متر) و دیواره سمت چپ از جنس پلکسی گلاس شفاف (با ضخامت 5 میلی‌متر) در تراکم خاک، پس از ریختن هر لایه خاک به کمک غلتک، در جهت‌های مختلف و به میزان یکسان متراکم شد. سعی شد فلوم به گونه‌ای پر شود که جرم مخصوص ظاهری و تراکم خاک در تمام نقاط مدل ثابت باشد. به منظور بازگشت ساختمان خاک ریخته شده در مدل به حالت اولیه، خاک درون مدل یک بار با ورود آب از کف و به آرامی اشباع شد. سپس، خاک مدل به مدت یک هفته در شرایط طبیعی قرار داده شد تا بخشی از رطوبت خود را از دست بدهد. ابعاد کanal براساس روابط تشابه ابعادی و با در نظر گرفتن مقیاس مناسب (نسبت عرض سطح آب در مدل به عرض سطح آب در نمونه اصلی، $L_r=0.13$) به فلوم انتقال یافت و دبی‌های نمونه اصلی با لحاظ کردن اصول تشابه ابعادی به دبی مدل تبدیل شد (جدول ۲). برای به حداقل رساندن اثرات مقیاسی بر روی نتایج حاصل از مدل سازی فیزیکی، پارامترهای عدد رینولدز و عدد ویر کنترل و مشخص شد در بازه قابل قبول قرار دارند (عدد رینولدز برای دبی‌های مورد استفاده بزرگتر از 10^5 و عدد ویر بزرگتر از 100

تأثیرپذیری آب زیرزمینی از نشت و نفوذ در کanal خاکی در شرایط قرارگیری تراز سطح ایستابی در اعماق متفاوت است.

مواد و روش‌ها

تشابه ابعادی

برای شبیه‌سازی پدیده‌های فیزیکی در قالب مدل‌های فیزیکی یا آزمایشگاهی از تشابه ابعادی استفاده می‌گردد (Streeter and Streeter and Wyllie, 1979). برای تشابه هندسی از مقیاس طولی مشخص و مناسب استفاده می‌شود (معادله ۱).

$$L_r = \frac{L_m}{L_p} \quad (1)$$

که در آن، L_r نسبت طول مدل به نمونه اصلی، (L_p) طول در نمونه اصلی و (L_m) طول نظری در مدل فیزیکی است. بیشتر پدیده‌های هیدرولیکی، بمویه در جریان‌های باز (سازه‌های هیدرولیکی، موج‌ها، مبدل‌های انرژی موج و ...) با استفاده از عدد فرود مدل‌سازی می‌شوند (Ettema, 2000; Heller, 2012). از سوی دیگر، در اینجا با توجه به این‌که مهمترین پارامتر موثر نیروهای ثقلی است، از عدد فرود استفاده شد. به منظور بررسی اثرات مقیاسی مدل‌سازی فیزیکی، عدد رینولدز و عدد ویر نیز کنترل شد. عدد فرود (Fr)، رینولدز (Re) و ویر (We) به ترتیب به صورت زیر تعریف می‌شوند (Chanson, 2004):

$$Fr = \frac{V}{\sqrt{g \times L}} \quad (2)$$

$$Re = \frac{V \times D}{\nu} \quad (3)$$

$$We = \frac{V^2 \times \rho \times D}{\sigma} \quad (4)$$

که (V) سرعت متوسط (متر بر ثانیه) و (L) مقیاس طول (در اینجا عمق متوسط جریان)، (ρ) شتاب جاذبه ($9/81$ متر بر مجذور ثانیه)، (D) عمق هیدرولیکی (متر)، (σ) لزجت سینماتیک (10^{-5} مترمربع بر ثانیه)، (ν) دانسیته (1000 کیلوگرم بر مترمکعب) و (σ) کشش سطحی آب ($0/0733$ نیوتن بر متر) است. از برابری عدد فرود در مدل و نمونه اصلی، رابطه (۵) و از آن رابطه (۶) حاصل می‌شود:

$$V_r = L_r^{1/2} \quad (5)$$

$$Q_r = L_r^{5/2} \quad (6)$$

(به فاصله ۰/۹، ۰/۸، ۰/۷۵ و ۰/۰ متر از سطح خاک مدل آزمایشگاهی) و دو سطح مقطع (مثلث و ذوزنقه) مورد بررسی قرار گرفت. مقطع ذوزنقه‌ای دارای ابعاد عرض کف، عرض بالا و عمق به ترتیب ۰/۱۷، ۰/۰۵۵ و ۰/۰۸۲ متر است و عرض بالا و عمق مقطع مثلثی به ترتیب ۰/۰۵۴ و ۰/۱۰۲ متر با ۰/۲۶ برابر می‌باشد.

به دست آمد (Chanson, 2004). برای اندازه‌گیری تلفات نشت از یک مخزن ۲۴۰ لیتری استفاده شد، چرخه آب از کanal به مخزن و سپس از مخزن به کanal انجام شد. این چرخه بسته تا انتهای زمان انجام آزمایش‌ها (چهار ساعت) ادامه داشت. به منظور بررسی اثر سطح ایستابی بر میزان نشت از کanal، چهار سطح ایستابی مختلف

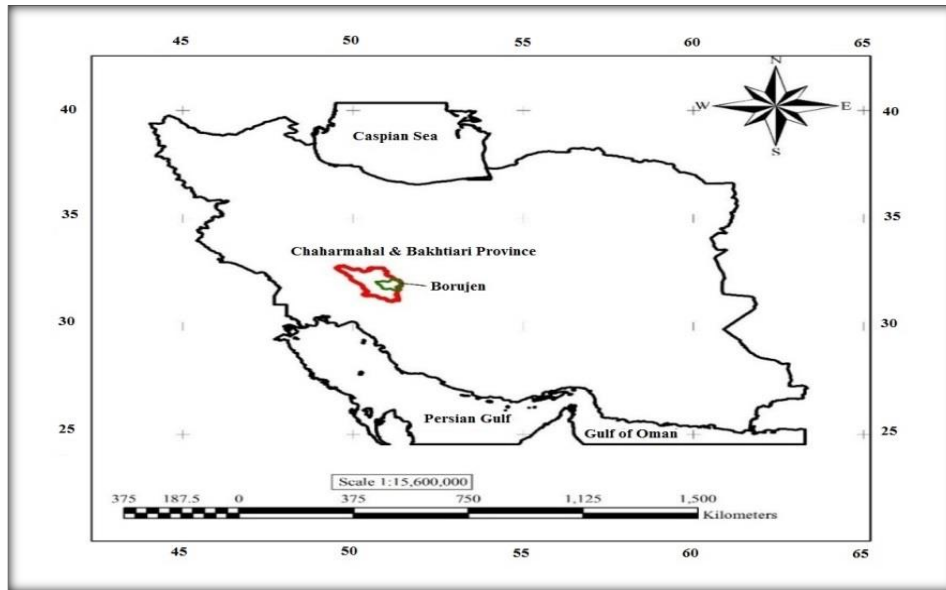


Fig. 1- Map of Borujen city location in Chaharmahal & Bakhtiari Province
شکل ۱- نقشه محل قرارگیری شهرستان بروجن در استان چهارمحال و بختیاری

جدول ۱- خصوصیات فیزیکی خاک مورد استفاده

Table 1- Physical properties of used soil

Soil particles	Sand (%)	Clay (%)	Silt (%)	Sampling depth	Soil texture
Particles percent	44.5	26	29.5	0-7 m	Loam

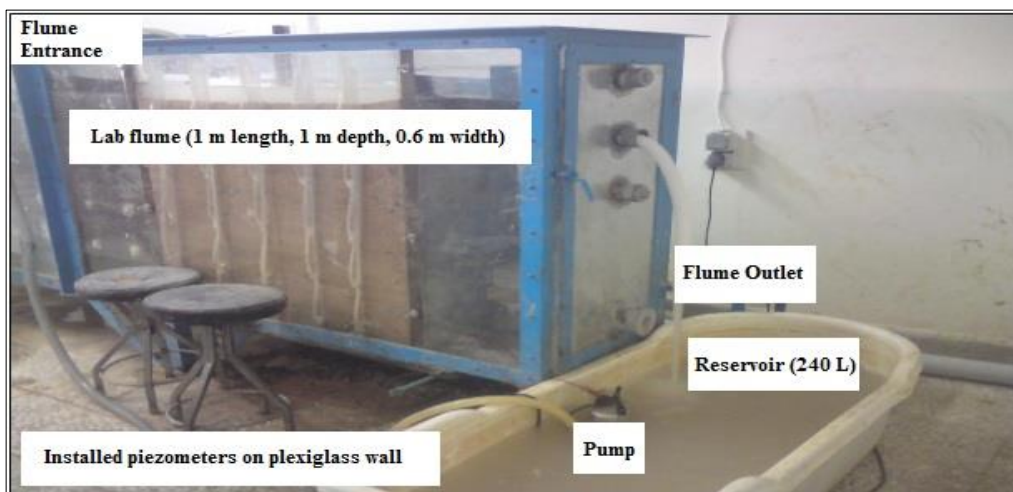


Fig. 2- Laboratory model in Soil Mechanics Lab of Shahrekord University

شکل ۲- مدل آزمایشگاهی در آزمایشگاه مکانیک خاک دانشگاه شهر کرد

جدول ۲- مشخصات هیدرولیکی نمونه اصلی و مدل

Table 2- Hydraulic properties of prototype and model

Hydraulic properties of prototype and model										
Title	Canal	Q1	Q2	Q3	Q4	Q5	Q6	Q7	Q8	Q9
Row/Dimension	-	L/s								
1	Boldaji	40	50	60	70	80	90	100	131	164
2	Lab model	0.25*	0.30	0.36	0.43	0.49	0.55	0.61	0.8	1.0

* Calculated by eq. 6.

$$R^2 = 1 - \frac{\sum (V_{\text{inf}} - S_i)^2}{\sum V_{\text{inf}}^2 - \frac{\sum S_i^2}{n}} \quad (\lambda)$$

$$RMSE = \sqrt{\left(\sum_{i=1}^n (V_{\text{inf}} - S_i)^2 / n\right)} \quad (9)$$

$$MAE = \left(\sum_{i=1}^n |V_{\text{inf}} - S_i| \right) / n \quad (\dagger \star)$$

که $V_{i \text{ inf}}$) حجم اندازه‌گیری شده نشست در دبی i ام (لیتر)، (S_i) نشت محاسبه شده در دبی i ام (لیتر) و (n) تعداد داده‌های مورد بررسی است. براساس نه دبی مورد استفاده در مدل آزمایشگاهی ($\cdot / 25$ ، $\cdot / 25$ ، $\cdot / 36$ ، $\cdot / 43$ ، $\cdot / 49$ ، $\cdot / 55$ ، $\cdot / 81$ ، $\cdot / 8$ و $\cdot / 10$ لیتر در ثانیه)، چهار سطح ایستابی مختلف ($1 / 15$ ، $2 / 20$ ، $2 / 25$ و $2 / 30$ متر)، دو سطح مقطع (مثلثی و ذوزنقه‌ای) و سه تکرار در این مطالعه، ۲۱ آزمایش انجام شد. بررسی آماری داده‌ها با استفاده از نرم‌افزار آماری SAS انجام شد.

پرآورده میزان نشت و نفوذ و تغذیه از کانال

در این پژوهش روش سنجش دبی ورودی و خروجی از مدل آزمایشگاهی، روش حجمی بوده که با سه تکرار، در سه زمان (ابتداء، میانه و زمان قطع جریان) و به وسیله استوانه مدرج انجام شد. طول مدت انجام آزمایش‌ها چهار ساعت در نظر گرفته شد که جریان ورودی به مدل، در ساعت سوم قطع گردید. مبنای اتمام آزمایش، سید: طبقت به سطح استاندارد.

$$R = Q_{in} - Q_{out} - ET - \frac{\Delta S}{\Delta t} \quad (\forall)$$

که (R) نرخ تغذیه، (ET) مقدار تبخیر تعرق تخمین زده شده و ΔS تغییر در ذخیره رطوبتی خاک در زمان Δt (روز) است. تمامی مقادیر بر حسب متر بر روز وارد معادله شدند.

برای ارزیابی دقت نتایج، از معیارهای ضریب تعیین (R^2)، ریشه میانگین مربعات خطای مطلق (RMSE) و میانگین خطای مطلق (MAE) به ترتیب معادله ۸ و ۹ استفاده شد.

برای یک عمق ایستابی در هر مقطع ارایه شده است و برای سایر اعماق، تنها مقادیر آماره‌ها نشان داده شد. مقادیر این جدول نشانگر آنست که میزان افزایش سطح آب زیرزمینی برای دبی‌های مختلف متفاوت بوده و از $۳/۵$ سانتی‌متر برای دبی $۰/۰$ لیتر در ثانیه تا ۱۱ سانتی‌متر برای دبی یک لیتر در ثانیه، متغیر بود. چنان‌چه از مقادیر آماره t در این جدول پیداست در هر دو مقطع بررسی شده و تمامی اعماق ایستابی، میان عمق محاسبه شده و اندازه‌گیری شده تفاوت معنی‌دار در سطح ۱ درصد وجود دارد. که در کنار مقادیر کم R^2 و اعداد بزرگ محاسبه شده برای $RMSE$ ، MAE ، نشان‌دهنده عدم مطابقیت روش بیلان برای محاسبه مقدار تغذیه آب زیرزمینی در مطالعه حاضر است (R^2 بزرگتر از $۷/۷۲$ و $۰/۶۲$ بهترین براي مقطع ذوزنقه و مثلث؛ $RMSE$ بزرگتر از ۱۶۶ و ۱۵۷ بهترین براي مقطع ذوزنقه و مثلث؛ و MAE بزرگتر از ۱۵۴ و ۱۴۲ بهترین براي مقطع ذوزنقه و مثلث).

مقدار R^2 برای مقطع مثلث به‌جز سطح ایستابی $/۹$ ، همواره بزرگتر از $۸/۰$ است که بیشتر از مقدار مشابه برای مقطع ذوزنقه می‌باشد. این امر نشانگر هم‌ستگی بهتر مقادیر تغذیه محاسبه شده به روش بیلان و مقادیر اندازه‌گیری شده برای مقطع مثلث است. بررسی آماره‌های $RMSE$ و MAE و t آنست که روش بیلان در منطقه بلندی قابلیت تخمین میزان تغذیه آب زیرزمینی را دارا نیست و لذا کاربرد آن به این منظور توصیه نمی‌شود.

نتایج مطالعه حاضر در رابطه با عدم مقبولیت استفاده از معادله بیلان آب در تخمین تغذیه، با نتیجه *Willis et al.* (1997) در تضاد است. این پژوهشگران پس از معرفی مدل‌سازی بیلان جرمی کلاید به عنوان موّقعترین روش تخمین نفوذ عمقی، گزارش کردند که روش بیلان آب و مدل‌سازی بیلان جرمی کلاید تخمین‌های *Willis et al.* (1997) افزون‌ترند که روش بیلان آب تخمین‌هایی از نفوذ عمقی برای تک واقعه آبیاری به دست می‌دهد که با نتیجه پژوهش حاضر تناقض دارد. افزایش سطح ایستابی به میزان $۳/۵$ تا ۱۱ سانتی‌متر که در مطالعه حاضر به دست آمد، نشانگر نقش مهم نشست در تغذیه آب زیرزمینی دارد که با نتیجه مطالعه *Meijer et al.* (2006) در جنوب سریانکا در تشابه است. نتیجه پژوهش حاضر با نتیجه *Fernald and Guldan* (2006) که در مطالعه خود با اندازه-گیری سطح آب چاهه‌ای مشاهده‌ای دریافتند نشت سبب افزایش سطح ایستابی شده است، مشابه است. بررسی مقادیر افزایش عمق آب اندازه‌گیری شده و محاسبه شده نشانگر آنست که به‌طورکلی، روش بیلان مقدار تغذیه را بسیار بیش برآورد می‌نماید. این نتیجه با یافته *Demlie* (2015) تناقض دارد. این پژوهشگران، این امر را ناشی از تاثیر جریان ترجیحی دانستند.

با توجه به این که در مدل آزمایشگاه، اندازه‌گیری مستقیم تغذیه امکان‌پذیر نیست و نظر به این که اثر تغذیه در افزایش عمق ایستابی معکوس می‌شود، مقادیر افزایش عمق محاسبه شده و اندازه‌گیری شده برای سنجش دقت تغذیه به دست آمده به کار برده شد و مقایسه گردید. افزایش عمق محاسبه شده از تقسیم حجم آب رسیده به سطح ایستابی بر سطح فلوم بدست آمد. میزان تغییر ذخیره رطوبت خاک از تفاضل رطوبت حداقل (متوسط رطوبت حجمی در ساعت یک، دو و سه پس از ورود جریان در اعماق مختلف) و رطوبت حداقل (متوسط رطوبت اولیه خاک در اعماق مختلف) تعیین شد. حاصل ضرب این عدد در حجم خاک، بیانگر حجم رطوبت ذخیره شده است.

نتایج و بحث

هدایت هیدرولیکی اشباع خاک در پروتوتاب، براساس روش حلقه‌های نفوذ، $۱۵/۶۵$ سانتی‌متر در روز (تقیبا $۰/۶۵$ سانتی‌متر در ساعت) تعیین شد که در کلاس هدایت هیدرولیکی اشباع نسبتاً بالا ($۰/۳۶$ تا $۳/۶$ سانتی‌متر بر ساعت) قرار دارد.

تأثیر نشت بر سطح ایستابی در شکل‌های (۳) و (۴) (بهترین برای مقطع ذوزنقه و مثلث) نشان داده شده است. به منظور خلاصه‌سازی و کاهش تعداد شکل‌ها، نتایج تنها برای یک عمق ایستابی در هر مقطع ارایه شد. در مقطع ذوزنقه و مثلث، برای دبی‌های $۰/۵۵$ ، $۰/۶۱$ ، $۰/۸$ و یک لیتر در ثانیه، در تمامی اعماق سطح ایستابی ($۰/۹$ ، $۰/۸۵$ ، $۰/۸$ و $۰/۷۵$ متر از سطح خاک)، پس از گذشت ۱۵ دقیقه از ورود جریان به فلوم، جبهه رطوبتی به سطح ایستابی رسید. سپس به تدریج بالا آمدن سطح آب زیرزمینی مشاهده شد که این افزایش تا ساعت سوم (زمان قطع جریان) با شبیه زیاد صورت گرفت. پس از قطع جریان، شب افزایش عمق آب زیرزمینی کاهش یافته و به تدریج مقدار آب زیرزمینی به سمت عددی ثابت میل کرد. برای پنج دبی اول ($۰/۲۵$ ، $۰/۳$ ، $۰/۴۳$ و $۰/۴۹$ لیتر در ثانیه) پس از گذشت ۳۰ دقیقه، آب به سطح ایستابی رسید و سپس تا زمان قطع جریان سبب افزایش سطح آب زیرزمینی شد. با توجه به میزان ورودی کمتر، شب افزایش عمق آب برای این دبی‌ها کمتر از چهار دبی $۰/۵۵$ تا یک لیتر در ثانیه است. میزان افزایش سطح آب زیرزمینی برای دبی‌های مختلف متفاوت بوده و از $۳/۵$ سانتی‌متر برای دبی $۰/۲۵$ لیتر در ثانیه تا ۱۱ سانتی‌متر برای دبی $۰/۵۵$ لیتر در ثانیه، متغیر بود. اعماق سطح ایستابی بررسی شده، تفاوت زیادی در میزان نشت با یکدیگر نشان ندادند. تفاوت در مقدار نشت و زمان رسیدن به سطح ایستابی ناشی از صعود موئینه بوده که در این مطالعه به دلیل مقدار بسیار اندک آن، قابل چشم‌پوشی است.

مقادیر متوسط رطوبت اولیه و نهایی خاک، تغذیه و افزایش عمق ایستابی محاسبه شده و اندازه‌گیری شده در جدول (۳) ارایه شده است. به‌منظور خلاصه‌سازی و کاهش تعداد سطور جدول، نتایج کامل تنها

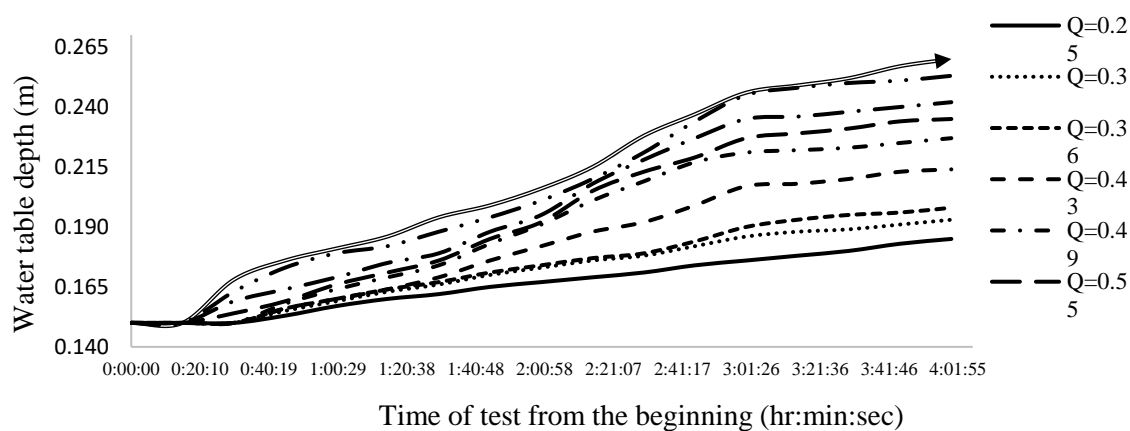


Fig. 3- Water table fluctuations after the beginning of test for water table depth of 0.85 m and trapezoid section (Inflow was ceased on the third hour)

شکل ۳- تغییرات سطح ایستابی پس از شروع آزمایش برای عمق ایستابی ۰/۸۵ متر و مقطع ذوزنقه (در ساعت سوم، دبی ورودی قطع شده است)

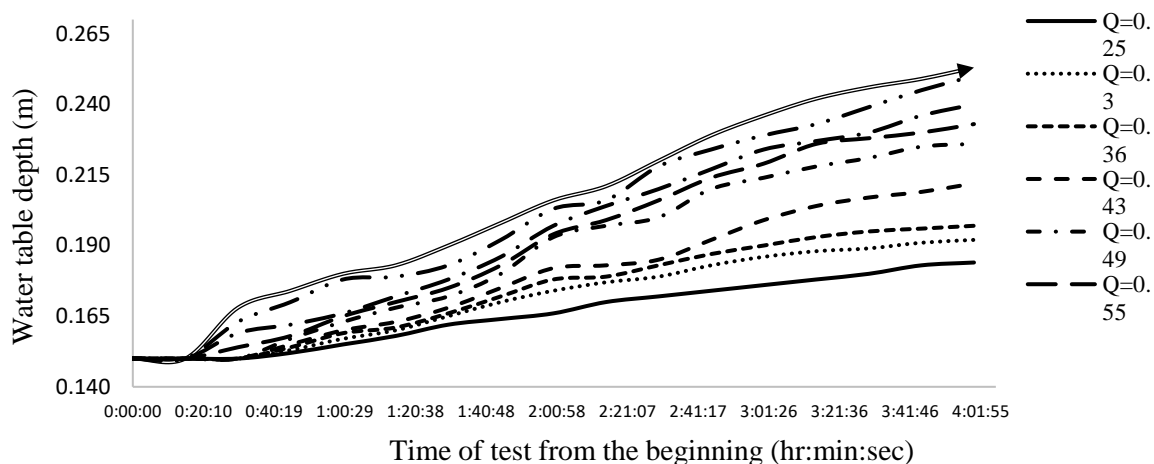


Fig. 4- Water table fluctuations after the beginning of test for water table depth of 0.85 m and triangle section (Inflow was ceased on the third hour)

شکل ۴- تغییرات سطح ایستابی پس از شروع آزمایش برای عمق ایستابی ۰/۸۵ متر و مقطع مثلثی (در ساعت سوم، دبی ورودی قطع شده است)

**جدول ۳- مقادیر متوسط رطوبت خاک، تقدیم و افزایش عمق ایستاتی محاسبه شده و اندازه‌گیری شده
(زمان انجام آزمایش ۴ ساعت)**

Table 3- Average values of soil moisture, recharge and increase in calculated and measured water table depth (Test duration: 4 hours)

Row	Water table (m)	Section	Inflow (L/s)	Outflow (L/s)	θ_{v1} (%)	θ_{v2} (%)	$\Delta S / \Delta t$ (L/s)	Recharge (L/s)	dh_{cal} (cm)	dh_{meas} (cm)
1	0.9	Trapezoid	0.25	0.23	2.80	31.9	0.0159	0.0032	88.16	3.5
2	0.9	Trapezoid	0.30	0.28	3.45	32.9	0.0161	0.0040	107.97	4.3
3	0.9	Trapezoid	0.36	0.34	3.65	31.9	0.0154	0.0046	124.50	4.8
4	0.9	Trapezoid	0.43	0.41	3.90	33.0	0.0159	0.0041	11.84	6.4
5	0.9	Trapezoid	0.49	0.47	4.40	33.2	0.0157	0.0071	195.55	7.7
6	0.9	Trapezoid	0.55	0.53	4.55	32.1	0.0151	0.0049	134.92	8.5
7	0.9	Trapezoid	0.61	0.59	4.60	30.7	0.0143	0.0057	156.52	9.2
8	0.9	Trapezoid	0.80	0.77	4.75	36.4	0.0173	0.0098	267.16	10.6
9	0.9	Trapezoid	1.00	0.97	4.20	36.6	0.0177	0.0100	272.38	11.0
R^2	-	-	-	-	-	-	-	-	0.76	-
RMSE	-	-	-	-	-	-	-	-	166.4	-
MAE	-	-	-	-	-	-	-	-	154.4	-
t	-	-	-	-	-	-	-	-	7.037**	-
R^2	-	-	-	-	-	-	-	-	0.794	-
RMSE	-	-	-	-	-	-	-	-	172.5	-
MAE	-	-	-	-	-	-	-	-	162.8	-
t	-	-	-	-	-	-	-	-	8.075**	-
R^2	-	-	-	-	-	-	-	-	779	-
RMSE	-	-	-	-	-	-	-	-	167.4	-
MAE	-	-	-	-	-	-	-	-	156.0	-
t	-	-	-	-	-	-	-	-	7.27**	-
R^2	-	-	-	-	-	-	-	-	0.726	-
RMSE	-	-	-	-	-	-	-	-	177.5	-
MAE	-	-	-	-	-	-	-	-	168.3	-
t	-	-	-	-	-	-	-	-	8.407**	-
10	0.9	Triangle	0.25	0.23	2.72	32.2	0.0161	0.0031	84.44	3.4
11	0.9	Triangle	0.30	0.28	3.25	33.2	0.0164	0.0039	104.99	4.3
12	0.9	Triangle	0.36	0.34	3.5	33.3	0.0163	0.0037	101.42	4.8
13	0.9	Triangle	0.43	0.41	3.85	33.4	0.0161	0.0039	105.14	6.4
14	0.9	Triangle	0.49	0.47	4.4	33.5	0.0159	0.0069	187.49	7.5
15	0.9	Triangle	0.55	0.53	4.42	33.6	0.0159	0.0041	110.65	8.4
16	0.9	Triangle	0.61	0.59	4.52	33.65	0.0159	0.0041	111.39	9.1
17	0.9	Triangle	0.80	0.77	4.75	36.7	0.0175	0.0099	269.69	10.7
18	0.9	Triangle	1.00	0.97	6.8	37.1	0.0166	0.0100	271.33	10.8
R^2	-	-	-	-	-	-	-	-	0.621	-
RMSE	-	-	-	-	-	-	-	-	157.8	-
MAE	-	-	-	-	-	-	-	-	142.3	-
t	-	-	-	-	-	-	-	-	5.916**	-
R^2	-	-	-	-	-	-	-	-	0.808	-
RMSE	-	-	-	-	-	-	-	-	184.4	-
MAE	-	-	-	-	-	-	-	-	176.5	-
t	-	-	-	-	-	-	-	-	9.374**	-
R^2	-	-	-	-	-	-	-	-	0.859	-
RMSE	-	-	-	-	-	-	-	-	174.7	-
MAE	-	-	-	-	-	-	-	-	164.7	-
t	-	-	-	-	-	-	-	-	7.989**	-
R^2	-	-	-	-	-	-	-	-	0.834	-
RMSE	-	-	-	-	-	-	-	-	180.5	-
MAE	-	-	-	-	-	-	-	-	171.3	-
t	-	-	-	-	-	-	-	-	8.494**	-

θ_{v1} : Average of initial moisture (min), θ_{v2} : Average of final moisture (max), $\Delta S / \Delta t$: rate of change in soil moisture storage, dh_{cal} : calculated increase in water table depth, dh_{meas} : measured increase in water table depth, R^2 : Coefficient of determination, RMSE: root mean square error, MAE: mean absolute error, t: t statistic for calculated against measured increased depth, **: significant in 1% level.

تخمین‌های نامطلوب این روش برای هر دو مقطع مثلث و ذوزنقه است (R^2 بزرگتر از ۰/۷۲ و ۰/۶۲ بهترتبیب برای مقطع ذوزنقه و مثلث؛ RMSE بزرگتر از ۱۶۶ و ۱۵۷ بهترتبیب برای مقطع ذوزنقه و مثلث؛ و MAE بزرگتر از ۱۵۴ و ۱۴۲ بهترتبیب برای مقطع ذوزنقه و مثلث). با توجه به میزان افزایش سطح آب زیرزمینی ناشی از آزمایش‌های نشت انجام شده در مدل فیزیکی مورد استفاده و پیش‌برآورد تغذیه آب زیرزمینی با روش بیلان آب، این روش برای تخمین تغذیه در منطقه بروجن پیشنهاد نمی‌شود. در مطالعه حاضر، به دلیل محدودیت زمانی و هزینه‌ای، تنها دو سطح مقطع مثلثی و ذوزنقه‌ای بررسی شد. پیشنهاد می‌شود در مطالعه‌های آینده از سطح مقطع سهمومی نیز استفاده شده و نتایج مقایسه گردد. همچنین از روش‌های ردیاب برای تعیین مقدار تغذیه آب زیرزمینی استفاده شود. این روش‌ها با توجه به محدودیت هزینه و امکانات، در مطالعه حاضر به کار گرفته نشد.

سپاسگزاری

نویسنده‌گان از داوران گرامی که با بررسی دقیق متن، به بهبود کیفیت مقاله کمک نمودند، سپاسگزاری می‌نمایند.

در مطالعه Yin et al. (2011)، میانگین مقادیر تغذیه سالانه برای روش‌های نوسان سطح ایستابی، قانون دارسی در منطقه اشباح و بیلان آب بهترتبیب ۴۶ تا ۱۰۹، ۱۷ تا ۵۴ و ۲۱ تا ۱۰۹ میلی‌متر در سال به دست آمد. مقایسه نتایج به دست آمده نشان از منطقی بودن تخمین‌های روش بیلان آب بود که نتیجه‌ای برخلاف نظر Gee و Hillel (1988) و Lerner et al. (1990) که کاربرد روش بیلان در مناطق خشک و نیمه‌خشک را زیر سوال بردند، می‌باشد. نتیجه مطالعه Yin et al. (2011) مبنی بر منطقی بودن تخمین‌های روش بیلان برخلاف نتایج مطالعه حاضر است.

نتیجه‌گیری

کanal خاکی بلداجی براساس روابط تشابه ابعادی و با در نظر گرفتن مقیاس ۰/۱۳ به مدل آزمایشگاهی واقع در آزمایشگاه مکانیک خاک دانشگاه شهرکرد و در کانالی با شبیث ثابت، طول یک متر و عرض ۰/۵۹ متر انتقال یافت. سپس، نه دبی (بین ۴۰ تا ۱۶۱ لیتر در ثانیه) و چهار سطح ایستابی (۰/۷۵، ۰/۸، ۰/۸۵ و ۰/۹ متر از سطح خاک) به دبی قابل کاربرد در مدل تبدیل شد. نتایج مدل فیزیکی آزمایشگاه نشان داد نفوذ آب از کanal باعث بالا آمدن سطح آب زیرزمینی بین ۳/۵ تا ۱۱ سانتی‌متر می‌گردد. مقادیر تغذیه آب زیرزمینی با استفاده از روش بیلان آب محاسبه شد و نتایج نشانگر

References

- Amirtaimoori, S., 2016. Forecasting the exploitation of groundwater resources and the possibility of recharge them by the precipitation in Jiroft. *Irrigation Sciences and Engineering*, 40(1), pp.39-48. (In Persian).
- Azari, A., Akhoond-Ali, A.M., Radmanesh, F. and Haghghi, A., 2015. Groundwater-surface water interaction simulation in terms of integrated water resource management (Case Study: Dez Plain). *Irrigation Sciences and Engineering*, 38(2), pp.33-47. (In Persian).
- Chanson, H., 2004. *The hydraulics of open channel flow*. Arnold, London.
- Chen, C., Wan, J. and Zhan, H., 2003. Theoretical and experimental studies of coupled seepage-pipe flow to a horizontal well. *Journal of Hydrology*, 281, pp.159-171.
- Demlie, M., 2015. Assessment and estimation of groundwater recharge for a catchment located in highland tropical climate in central Ethiopia using catchment soil-water balance (SWB) and chloride mass balance (CMB) techniques. *Environmental Earth Sciences*, 74(2), pp.1137-1150.
- Ettema, R., 2000. *Hydraulic modeling: concepts and practice*. ASCE, USA.
- Fernald, A.G. and Guldan. S.J., 2006. Surface water-groundwater interactions between irrigation ditches, alluvial aquifers, and streams. *Reviews in Fisheries Science*, 14(1-2), pp.79-89.
- Fernald, A.G., Baker, T.T. and Guldan, S.J., 2007. Hydrologic, riparian, and agroecosystem functions of traditional acequia irrigation systems. *Journal of Sustainable Agriculture*, 30(2), pp.147-171.

- 9- Gee, G.W. and Bauder, J.W., 1979. Particle size analysis by hydrometer: a simplified method for routine textural analysis and a sensitivity test of measurement parameters. *Soil Science Society of America Journal*, 43(5), pp.1004-1007.
- 10-Gee, G.W. and Hillel, D., 1988. Groundwater recharge in arid regions: review and critique of estimation methods. *Hydrological Processes*, 2, pp.255-266.
- 11-Healy, R.W. and Cook, P.G., 2002. Using groundwater levels to estimate recharge. *Hydrogeology Journal*, 10(1), pp.91-109.
- 12-Heller, V., 2012. Model-prototype similarity. In: *4th Coastlab Teaching School, Wave and Tidal Energy*. Porto, Portugal.
- 13-Helmus, A.M., Fernald, A.G., VanLeeuwen, D.M., Ulery, A.L., Baker, T.T. and Abbot, L.B., 2009. Surface water irrigation input effects on shallow groundwater quality and recharge along the Rio Grande in Northern New Mexico. *Journal of the American Water Resources Association*, 45(2), pp.407-418.
- 14-Lerner, D.N., Issar, A.S. and Simmers, I., 1990. *Groundwater recharge. A guide to understanding and estimating natural recharge*. International Contributions to Hydrogeology. Verlag Heinz Heise. Germany.
- 15-Meijer, K., Boele, E., Augustijn, D. and van der Molen, I., 2006. Impacts of concrete lining of irrigation canals on availability of water for domestic use in southern Sri Lanka. *Agricultural Water Management*, 83(3), pp.243-251.
- 16-MPOIRI (Management and Planning Organization of Islamic Republic of Iran),, 2001. Manual for infiltration rate measurement by cylinder infiltrometer method. Tehran. Iran. MPOIRI Publication. (In Persian).
- 17-Nimmo, J.R., Stonestrom, D. and Healy, R.W., 2003. Aquifer recharge. In: Stewart, B.A., and Howell, T.A., (eds.) *Encyclopedia of Water Science*. Marcel Dekker, New York, pp. 22-25.
- 18-Obuobie, E., Diekkrueger, B., Agyekum, W. and Agodzo, S., 2012. Groundwater level monitoring and recharge estimation in the White Volta River basin of Ghana. *Journal of African Earth Sciences*, 71, pp.80-86.
- 19-Ochoa, C.G., Fernald, A.G., Guldan, S.J. and Shukla, M.K., 2007. Deep percolation and its effects on shallow groundwater level rise following flood irrigation. *Transactions of ASABE (American Society of Agricultural and Biological Engineers)*, 50(1), pp.73-81.
- 20-Ochoa, C.G., Fernald, A.G., Guldan, S.J., Tidwell, V.C. and Shukla, M.K., 2013. Shallow aquifer recharge from irrigation in a semiarid agricultural valley in New Mexico. *Journal of Hydrologic Engineering*, 18(10), pp.1219-1230.
- 21-Rushton, K.R., 2003. *Groundwater hydrology: Conceptual and computational models*. Wiley, England.
- 22-Samani, J.V.M. and Fathi, P., 2005. Evaluation of some drainage unsteady analytical models for simultaneous prediction of saturated hydraulics conductivity and effective porosity using the inverse problem technique. *Journal of Agricultural Sciences and Natural resources*, 12(3), pp.1-10. (In Persian).
- 23-Sampat, P., 2000. Groundwater shock: the polluting of the world's major freshwater stores. *World Watch*, 13(1), pp.10-22.
- 24-Scanlon, B.R., Dutton, A. and Sophocleous, M.A., 2003. *Groundwater recharge in Texas*. Texas Water Development Board. Bureau of Economic Geology. The University of Texas at Austin, Austin, Texas.
- 25-Scanlon, B. R., Healy, R. W., and P. G., Cook. 2002. Choosing appropriate techniques for quantifying groundwater recharge. *Hydrogeology Journal*, 10(1), pp.18-39.

- 26-Simpson, M.J., Clement, T.P. and Gallop, T.A., 2003. Laboratory and numerical investigation of flow and transport near a seepage-face boundary. *Groundwater*, 41(5), pp.690-700.
- 27-Sobowale, A., Ramalan, A.A., Mudaire, O.J., and Oyebode, M.A., 2014. Groundwater recharge studies in irrigated lands in Nigeria: Implications for basin sustainability. *Sustainability of Water Quality and Ecology*, 3, pp.124-132.
- 28-Streeter, V.L. and Wylie, E.B., 1979. *Fluid Mechanics*. McGraw-Hill, USA.
- 29-Swenson, S., and J., Wahr. 2009. Monitoring the water balance of Lake Victoria, East Africa, from space. *Journal of Hydrology*, 370 (1-4), pp.163-176.
- 30-Willis, T.M., Black, A.S. and Meyer, W.S., 1997. Estimates of deep percolation beneath cotton in the Macquarie Valley. *Irrigation Science*, 17(4), pp.141-150.
- 31-Winter, T.C., Harvey, J.W., Franke, O.L. and Alley, W.M., 1998. Ground water and surface water, a single resource. U.S. Geological Survey, Denver, CO. *Technical Rep*.
- 32-Xu, X., Huang, G., Qu, Z. and Pereira, L.S., 2011. Using MODFLOW and GIS to assess changes in groundwater dynamics in response to water saving measures in irrigation districts of the Upper Yellow River Basin. *Water Resources Management*, 25(8), pp.2035-2059.
- 33-Yamanaka, T., Mikita, M., Lorphenesri, O., Shimada, J., Kagabu, M., Ikawa, R., Toshio, N. and Tsujimura, M., 2011. Anthropogenic changes in a confined groundwater flow system in the Bangkok Basin, Thailand, part II: how much water has been renewed? *Hydrological Processes*, 25(17), pp.2734-2741.
- 34-Yin, L., Hu, G., Huang, J., Wen, D., Dong, J., Wang, X. and Li, H., 2011. Groundwater-recharge estimation in the Ordos Plateau, China: comparison of methods. *Hydrogeology Journal*, 19(8), pp.1563-1575